

Hf -

$\text{OH}, \text{HF}^+, \text{HF}, \text{HF}^-$ ,  $\text{NeH}^+$ ,  $\text{NeH}$  ( $E_i, \gamma_e, D_0$ ,  
 $\mu.n.$ ,  $p_{\text{recim}}$ )

Bondysey V., Pearson P. K.,  
Schaefer H. F. III, VI 3141

Chem. Phys., 1972, 57, N3, 1123 -  
- 1128 (and.)

Theoretical potential energy  
curves for  $\text{OH}$ ,  $\text{HF}^+$ ,  $\text{HF}$ ,  $\text{HF}^-$ ,  $\text{NeH}^+$   
and  $\text{NeH}$ .

ReLieu, 1972, 24524 5 40 Q

HF

Bruce R.E.

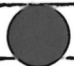
1973

et al.

"Chem. Phys. Lett"

"1973, 23, N4, 504-507"

M.N.



(see. HF; III)

\*45-10537 X-9383 1975

HF

LiH

NaH

не, потому  
что все



X 1976 N 6524

6 Б24. Теоретическое предсказание [существования] стабильных отрицательных ионов: HF<sup>-</sup>, LiH<sup>-</sup> и NaH<sup>-</sup>. Griffing Karen M., Кеннеди John, Simons Jack,乔丹 Kenneth D. Theoretical predictions of stable negative ions: HF<sup>-</sup>, LiH<sup>-</sup>, NaH<sup>-</sup>. «J. Chem. Phys.», 1975, 63, № 9, 4073—4075 (англ.)

Методом ур-ний движения проведен расчет энергий ионов HF<sup>-</sup>, LiH<sup>-</sup> и NaH<sup>-</sup> относительно энергий нейтр. молекул. Базис состоял из наборов наиболее важных харти-фоковских MO, рассчитанных для молекул, с добавлением оптимизированных диффузных s- и p-орбиталей на каждом центре (для HF<sup>-</sup> — только на атоме H). В области межъядерных расстояний 2,0—4,5 ат. ед. для LiH, 2,0—4,25 для NaH и 0,75—2,6 для HF потенциальные кривые анионов лежат ниже кривых нейтр. молекул, тенденций к пересечению кривых отсутствуют, а равновесные расстояния молекул и анионов примерно одинаковы. Сродство к электрону LiH, NaH и HF, согласно расчету равно 0,2986; 0,3618 и 0,3558 эв соответственно.

М. Е. Ерлыкина

51203.8877  
Ch,TC

40892

1975

HF<sup>-</sup> X-9383 4-5-10537

Griffing Karen M., Kenney John, Simons  
Jack, Jordan Kenneth D.

Theoretical predictions of stable negative ions: HF<sup>-</sup>, LiH<sup>-</sup>, NaH<sup>-</sup>.

"J.Chem.Phys.", 1975, 63, N 9, 4073-4075

(cuv. LiH<sup>-</sup>;  $\frac{1}{3}$ )

(англ.)

05011 г.4к

480 486 492

ВИНИТИ

HF-

annex 5631

1977

Cousseau Y., et al.

creutz  
amp  
crysotypt  
mona

Y. Chem. Soc. Faraday  
Trans. II, 1977, 73,  
1015 - 19.

$\text{HF}^-$

9 Д169. О существовании отрицательных ионов нейтронных полярных молекул: исследование ионов  $\text{HF}^-$ ,  $\text{H}_2\text{O}^-$ ,  $\text{HCN}^-$ ,  $(\text{HF})_2^-$ ,  $\text{H}_3\text{NO}^-$  и  $\text{CH}_3\text{CN}^-$ . Jordan K. D., Wendoloski J. J. On the existence of negative ions of nonionic polar molecules: studies of  $\text{HF}^-$ ,  $\text{H}_2\text{O}^-$ ,  $\text{HCN}^-$ ,  $(\text{HF})_2^-$ ,  $\text{H}_3\text{NO}^-$  and  $\text{CH}_3\text{CN}^-$ . «Chem. Phys.», 1977, 21, № 2, 145—154 (англ.)

Аe  
существ.  
исслед.

(+5)

☒

Для исследования возможности существования отрицат. ионов  $\text{HF}^-$ ,  $\text{H}_2\text{O}^-$ ,  $\text{HCN}^-$ ,  $(\text{HF})_2^-$ ,  $\text{H}_3\text{NO}^-$  и  $\text{CH}_3\text{CN}^-$  произведен неэмпирич. расчет электронной структуры соответствующих нейтральных молекул. Сродство к электрону  $A$  оценивалось по теореме Купманса:  $A = -\epsilon_{\text{LUMO}}$  (LUMO — низшая свободная орбиталь). Для получения стабильных результатов необходимо включение в базис трех наборов ( $2s + 2p$ ) диффузных ф-ций на атоме, соответствующем положит. концу диполя. Расчеты указывают на существование устойчивых ионов  $(\text{HF})_2^-$ ,  $\text{H}_3\text{NO}^-$  и  $\text{CH}_3\text{CN}^-$  и их отсутствие для молекул  $\text{HF}$  и  $\text{H}_2\text{O}$ , обладающих меньшими дипольными моментами. Для молекулы  $\text{HCN}$  результаты являются недостаточно определенными.

В. И. Барановский

09/1977 N9

Омск 5036

1977

*HF<sup>-</sup>*

1977

16 Б34. О существовании отрицательных ионов неионных полярных молекул. Исследования  $\text{HF}^-$ ,  $\text{H}_2\text{O}^-$ ,  $\text{HCN}^-$ ,  $(\text{HF})_2^-$ ,  $\text{H}_3\text{NO}^-$  и  $\text{CH}_3\text{CN}^-$ . Jordan K. D., Wendoloski J. J. On the existence of negative ions of nonionic polar molecules: studies of  $\text{HF}^-$ ,  $\text{H}_2\text{O}^-$ ,  $\text{HCN}^-$ ,  $(\text{HF})_2^-$ ,  $\text{H}_3\text{NO}^-$  and  $\text{CH}_3\text{CN}^-$ . «Chem. Phys.», 1977, 21, № 2, 145—154 (англ.)

На основании неэмпирических расчетов методом Хартри-Фока сделано заключение, что неионные полярные молекулы с достаточно большими дипольными моментами могут образовывать стабильные анионы в результате захвата электронов дипольными полями этих молекул. Однако сродство к электрону у этих молекул значит меньше, чем у ионных молекул с сопоставимыми дипольными моментами. Отмечено, что дипольные поля  $\text{HF}$  и  $\text{H}_2\text{O}$  не достаточно велики для связывания электрона. С другой стороны расчеты  $(\text{HF})_2^-$ ,  $\text{H}_3\text{NO}^-$  и  $\text{CH}_3\text{CN}^-$  показали, что эти анионы стабильны. Границное положение занимает  $\text{HCN}^-$ : расчет показал, что этот ион может быть стабильным.

Резюме

(45)

8

X.1977. N 16

Одн. 5036

HF-

Bennicelli

5036

1977

negative  
nonpol

87: 29299m On the existence of negative ions of nonionic polar molecules: studies of HF, H<sub>2</sub>O, HCN, (HF)<sub>2</sub>, H<sub>3</sub>NO and CH<sub>3</sub>CN. Jordan, K. D.; Wendoloski, J. J. (Dep. Chem., Univ. Utah, Salt Lake City, Utah). *Chem. Phys.* 1977, 21(2), 145-54 (Eng). Ab initio calens. are presented which demonstrate that nonionic polar mols. with sufficiently large dipole moments can form stable anions by the attachment of electrons in their dipole fields. The resulting electron affinities are considerably smaller than those for ionic mols. with comparable dipole moments. The dipole fields of HF and H<sub>2</sub>O are too weak to bind an electron. Calens. on (HF)<sub>2</sub>, H<sub>3</sub>NO, and CH<sub>3</sub>CN suggest that these species are stable. HCN is a borderline case; the present study indicates that it may be stable.

(15)

C.A. 1977. 87 n 4

HF

(HF<sup>-</sup>)

кривые  
потенциал  
энергии

⊗

BP-ХI-6249 1978

7 Б124. Электронная спектроскопия резонансов фотонного водорода. Mathur D., Hasted J. B. Electron spectroscopy of hydrogen fluoride resonances. «Chem. Phys.», 1978, 34, № 1, 29—38 (англ.)

Измерен спектр пропускания электронов через HF. В спектре наблюдалась резкая линия 10,05 эв, связанная с резонансом Фешбаха [переход HF,  $X^1\Sigma \rightarrow HF-(3s\sigma)^2\Sigma$ ], и группа резонансных линий в области 12—13 эв, интерпретированная как колебательная и вращательная структура перехода  $HF(X^1\Sigma^+, v''>0) \rightarrow HF^-(^2\Sigma, v'=0-4)$ . Значения молекулярных постоянных  $\omega_e$ ,  $\omega_{ex_e}$ ,  $D_e$ ,  $B$  и  $r_e$  HF<sup>-</sup>( $^2\Sigma'$ ) равны соотв. 0,132; 0,006; 0,73 эв;  $20,4 \text{ см}^{-1}$ ; 0,93 А. Полученные результаты сопоставлены с данными по спектру энергетич. потерь электронов. Приведены приближенные кривые потенциальной энергии для HF и HF<sup>-</sup>.

Б. М. Ковба

2.1979 N4

HF-

[Jan. 18797] 1983

100: 180261a Investigation of negative ion states in hydrogen chloride and fluoride by configuration interaction methods. Bettendorff, Marc; Buenker, Robert J.; Peyerimhoff, Sigrid D. (Lehrstuhl Theor. Chem., Univ. Bonn, D-5300 Bonn, Fed. Rep. Ger.). *Mol. Phys.* 1983, 50(6), 1363-80 (Eng). Multireference CI calcns. were used to study Born-Oppenheimer potential energy curves in HF/HF- and HCl/HCl-. Large gaussian basis sets including neg. ion functions and diffuse s, p, and d AOs were used. In HCl- a repulsive  $^2\Sigma^+$  state emerges from the calcns. approx. 4.2 eV above the HCl  $X^1\Sigma^+$  ground state. All other CI roots which produce potential curves parallel to and above the  $X^1\Sigma^+$  curve possess quite diffuse charge distributions in the basis set variations undertaken. For large internuclear distances the HF- and HCl- curves lie below those of the neutral species, whereby the crossing between the  $X^2\Sigma^+$  ionic and  $X^1\Sigma^+$  curves occurs at 3.2  $a_0$  in HCl/HCl- and 2.6  $a_0$  in HF/HF-. Nonadiabatic effects involving the low energy HX- continuum states in the Born-Oppenheimer approxn. and the bound HX- species at large internuclear sepns. (with continuation inside the HX potential well) are ultimately responsible for obsd. electron scattering resonances.

ROMMEL,  
KRUEGER,  
MEOP. pacet

⊗ (H)

C.A. 1984, 100, N 22

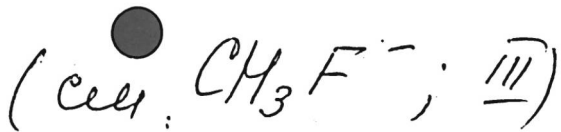
HCl-

$\text{HF}^-$

1985

Hotokka M., Sundholm  
D.

Uo, Ae; Finn. Chem. Lett.,  
1985, N 3-4, 165.



HF-

1989

Karlstroem Gunnar.

meop  
pacrön,  
sr. eūryx-  
mypa

J. Phys. Chem. 1989,  
93 (12), 4952-5.

(Cal. HF;  $\overline{II}$ )

*HF<sup>-</sup>*

*1992*

- 16 Б1015. Потенциальные кривые анионов  $\text{HF}^-$  и  $\text{HCl}^-$  в приближении сильной связи. Close-coupling anion curves for  $\text{HF}^-$  and  $\text{HCl}^-$  /Gorczyca T., Norcross D. W. //Phys. Rev. A .—1992 .—45 ,№ 1 .—С. 140—147 .—Англ.

В одноконфигурационном приближении сильной связи рассчитаны потенциальные кривые низших состояний  $^2\Sigma^+$  анионов  $\text{HF}^-$  и  $\text{HCl}^-$ . Рассчитаны также электронно-молек. суммы собственных фаз. Для уточнения одноконфигурац. результатов использованы корреляционно-поляризац. потенциалы. Использованный подход позволил правильно описать потенциальные кривые анионов в областях, где они приближаются к потенциальным кривым нейтр. молекул. Показано существование псевдопересечений основного состояния  $\text{HF}^-$  с возбужденными состояниями диполя.

А. А. Сафонов

(4)

X. 1993, N 16

$\text{HF}^-$

1992

5 Д45. Кривые [потенциальной энергии в приближении] сильной связи для анионов  $\text{HF}^-$  и  $\text{HCl}^-$ . Close-coupling anion curves for  $\text{HF}^-$  and  $\text{HCl}^-$  / Gorczyca T., Norcross D. W. // Phys. Rev. A — 1992 — 45, № 1 — С. 140—147. — Англ.

Рассчитаны кривые потенц. энергии низших  $^2\Sigma^+$ -состояний анионов  $\text{HF}^-$  и  $\text{HCl}^-$  в одноконфигурационном приближении сильной связи. Кроме статического обменного взаимодействия учитывалось корреляционно-поляризационное взаимодействие. Обнаружено квазипересечение между низшим состоянием аниона и бесконечной серией дипольно-связанных состояний  $\text{HF}^-$ , когда кривые потенц. энергии аниона и нейтральной молекулы приближаются друг к другу при уменьшении межъядерного расстояния. Отмечено, что в рассмотренном методе расчета в асимптотич. потенциале сохраняются все мультипольные моменты дальнего порядка.

М-Л.

(1)

φ 1993, N5